

Ultradźwiękowy sensor fali Love'a do jednoczesnego wyznaczania lepkości oraz gęstości cieczy

- Dr hab. Piotr Kiełczyński, prof. w IPPT PAN,
- Dr inż. Andrzej Balcerzak,
- Mgr inż. Marek Szalewski

Instytut Podstawowych Problemów Techniki PAN
Zakład Teorii Ośrodków Ciągłych
Zespół Badawczy Akustoelektroniki



6 grudnia 2013 r., Warszawa, Polska.

PLAN SEMINARIUM

1. Wstęp
2. Zagadnienie Proste rozchodzenia się fal Love'a w falowodzie sprężystym obciążonym cieczą lepka
3. Zespolone równanie dyspersyjne
4. Zagadnienie Odwrotne dla fali Love'a rozchodzącej się w falowodzie sprężystym obciążonym cieczą lepka
5. Sformułowanie Zagadnienia Odwrotnego jako Problemu Optymalizacyjnego
6. Funkcje celu
7. Obliczenia numeryczne fala Love'a w falowodzie Cu na stali + ciecz lepka
8. Podsumowanie i Wnioski
9. Przyszłe prace

Tematyka prac (poza tematyką fali Love'a)

1. Modelowanie numeryczne procesów technologicznych wytwarzania układów scalonych VLSI (dyfuzja, implantacja, utlenianie)
2. Obliczanie pól temperatur w tranzystorach oraz w warstwowych przetwornikach piezoelektrycznych
3. Akustyczne wiązki o ograniczonej dyfrakcji (Besselowskie). Wyznaczanie pól akustycznych metodą odpowiedzi impulsowej
4. Akustyczna Skaningowa Mikroskopia Kontaktowa. Piezoelektryczny czujnik przemieszczenia (bimorf, monomorf)
5. Badanie właściwości fizycznych monowarstw Langmuira-Blodgetta. Prąd Maxwella.
6. Piezoceramiczne cylindryczne rezonatory akustyczne na fale poprzeczne objętościowe. Admitancja elektryczna rezonatora. Rezonatory wielowarstwowe.
7. Wyprowadzenie wzoru Kanazawy-Gordona dla rezonatorów cylindrycznych
8. Obrazowanie akustyczne (acoustical imaging). Przetworniki macierzowe (liniowe i kwadratowe). FFT oraz transformacja Hilberta
9. Badanie pod wysokim ciśnieniem właściwości fizykochemicznych cieczy. Fale podłużne, powierzchniowe fale Bleusteina-Gulyaeva. a) prędkość, b) gęstość, c) lepkość, d) międzycząsteczkowa droga swobodna, e) ściśliwość adiabatyczna i izotermiczna, f) współczynnik nieliniowości B/A

Rozpracowanie wielu tematów.

Znaczenie praktyczne jednoczesnego pomiaru lepkości i gęstości cieczy

- A. Gęstość oraz lepkość są ważnymi parametrami fizykochemicznymi cieczy biorących udział w procesach technologicznych w przemyśle:
 - 1) chemicznym, 2) spożywczym, 3) paliwowym oraz w 4) przemyśle tworzyw sztucznych.

- B. Gęstość i lepkość cieczy powinny być monitorowane on-line w trakcie procesu technologicznego. Ma to wpływ na jakość produktu końcowego oraz efektywność procesów technologicznych.

- C. W przemyśle tworzyw sztucznych niezbędny jest ciągły monitoring lepkości oraz gęstości stopionych polimerów w trudnych warunkach wysokiej temperatury (150 – 350 °C) oraz wysokiego ciśnienia (50 - 100 MPa). (Przetłaczanie, wtryskiwanie).

Stan wiedzy (State of the art)

(Jednoczesny pomiar lepkości i gęstości cieczy)

A. Pomiar porównawczy.

- 1) 2 rezonatory płaskie (na fale poprzeczne), (Martin, 1993). Jeden rezonator ma pow. gładką, drugi rezonator ma pow. pofałdowaną (corrugated strips)
- 2) 2 falowody na fale Love'a (Herman, 1999) – gładka pow. + ponacinana pow.
- 3) 2 falowody o różnym przekroju, kołowym i kwadratowym (Kim, Bau, 1989).

B. Wykorzystanie drgającej beleczki (cantilever), (Riesch, 2008).

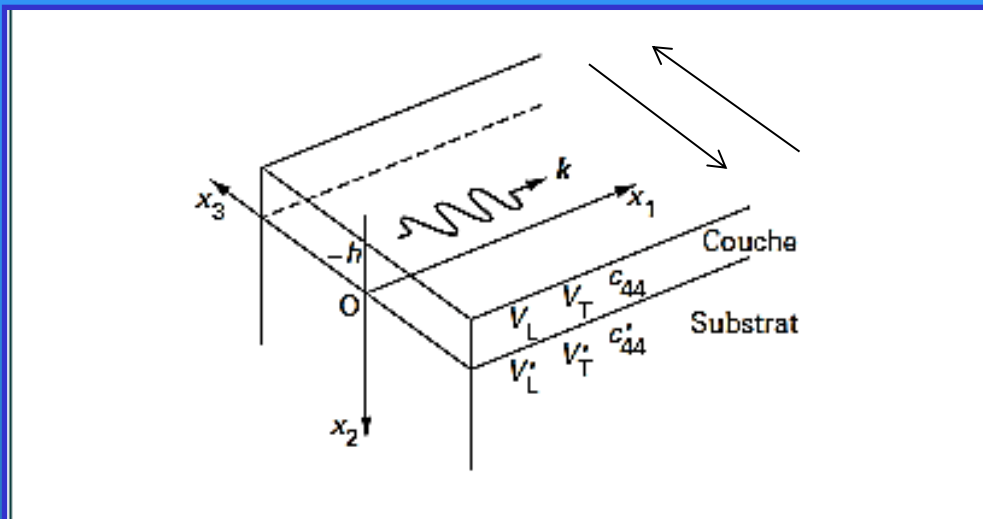
Skomplikowany układ pomiarowy. Np. odczyt optyczny.

C. Wykorzystanie bardzo złożonych rezonatorów (Jakoby, 2010)

- 1) rezonatory 2 membranowe + pole magnetyczne
- 2) Elektromagnetyczne rezonatory akustyczne + pole magnetyczne (electromagnetic – acoustic resonators)
Siła Lorentza + odczyt elektromagnetyczny

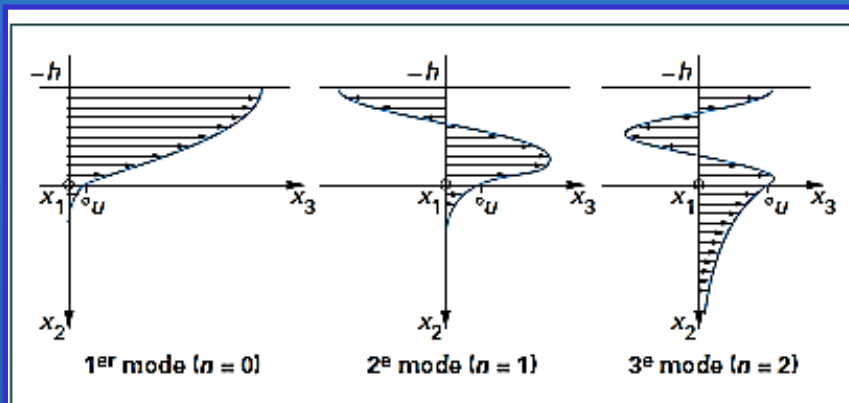
Fale Love'a :

- Przemieszczenie mechaniczne. (Fale dyspersyjne)
- Zakres częstotliwości od 0.001 Hz do 1 GHz



Poprzeczna fala powierzchniowa nie istnieje w jednorodnej półprzestrzeni sprężystej

Rys.1

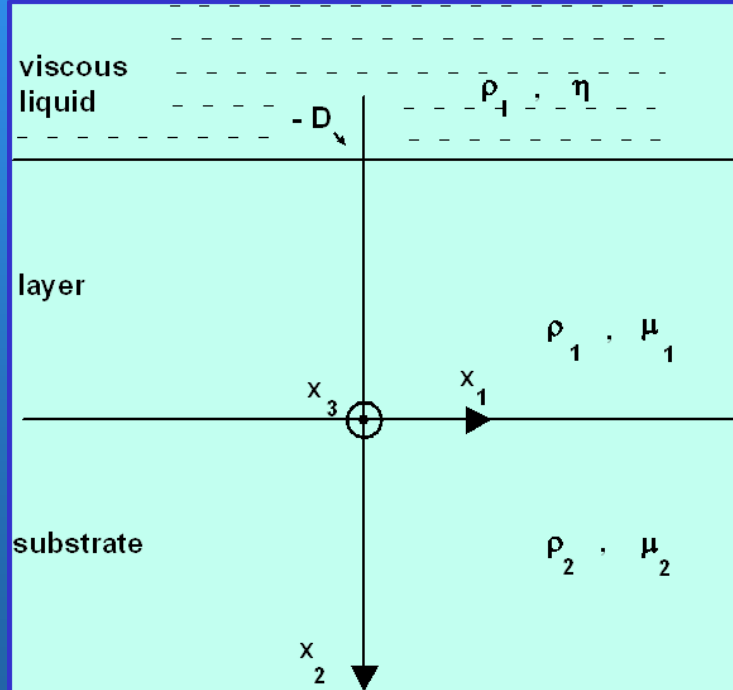


Rys.2

Figure 17 – Onde de Love : amplitude du déplacement en fonction de la profondeur pour le couple silice/silicium

Zagadnienie Proste dla fali Love'a

- Zagadnienie Proste dla fali Love'a rozchodzącej się w warstwowym falowodzie sprężystym pokrytym na powierzchni cieczą lepką polega na wyznaczeniu prędkości fazowej oraz tłumienia fali znając wszystkie parametry materiałowe falowodu oraz cieczy dla ustalonej częstotliwości.



Parametry materiałowe



Prędkość i tłumienie fali

Rys.3 Falowód fali Love'a pokryty cieczą lepką

Założenia:

1. Rozpatrujemy pierwszy mod (rodzaj drgań) fal Love'a
2. Podłoże i warstwa są ośrodkami:
sprężystymi, izotropowymi, jednorodnymi
oraz bezstratnymi
3. Powierzchnia falowodu obciążona jest nieściśliwą
cieczą Newtonowską (lepką)
4. Brak zmienności wzdłuż osi x_3
5. Równanie Naviera-Stokesa jest zlinearyzowane
6. Straty wprowadza tylko obecność cieczy

Model Matematyczny:

Poszukujemy następującą postać
przemieszczenia fali Love'a :

$$u_3(x_1, x_2, t) = f(x_2) \cdot \exp[j(k \cdot x_1 - \omega t)] \quad (1)$$

$k = k_0 + j\alpha$ = Zespólona liczba falowa fali Love'a

Równania ruchu:

- a) w ciałach stałych = równanie ruchu ciała sprężystego
- b) w cieczy = równanie Naviera-Stokesa

Warunki brzegowe (na granicach ośrodków):

- a) ciągłość przemieszczeń
- b) ciągłość naprężeń ścinających

10 Model Matematyczny: Równania różniczkowe (ruchu)

W cieczy lepkiej (równanie Naviera-Stokesa) :

$$\frac{\partial v_3}{\partial t} - \frac{\eta}{\rho_l} \left(\frac{\partial^2}{\partial x_1^2} + \frac{\partial^2}{\partial x_2^2} \right) v_3 = 0 \quad (2)$$

W warstwie powierzchniowej :

$$\frac{1}{v_1^2} \frac{\partial^2 u_3}{\partial t^2} = \left(\frac{\partial^2}{\partial x_1^2} + \frac{\partial^2}{\partial x_2^2} \right) u_3 \quad (3)$$

W podłożu:

$$\frac{1}{v_2^2} \frac{\partial^2 u_3}{\partial t^2} = \left(\frac{\partial^2}{\partial x_1^2} + \frac{\partial^2}{\partial x_2^2} \right) u_3 \quad (4)$$

11 Rozwiązania równań ruchu dla fali Love'a przyjmują postać:

W obszarze warstwy powierzchniowej: $(0 > x_2 > -D)$

Przemieszczenie mechaniczne fali:

$$u_3^{(1)} = W(x_2) \cdot \exp[j(k \cdot x_1 - \omega t)] \quad (5)$$

$$W''(x_2) - (k_1^2 - k_0^2) \cdot W(x_2) = 0 \quad (6)$$

Postulujemy rozwiązanie w postaci:

$$W(x_2) = C_1 \cdot \sin(q \cdot x_2) + C_2 \cdot \cos(q \cdot x_2) \quad (7)$$

gdzie:

$$q = (k_1^2 - k^2)^{1/2}$$

$$k_1 = \frac{\omega}{v_1};$$

C_1 oraz C_2 są to dowolne stałe

Składowa naprężenia:

$$\tau_{23}^{(1)} = \mu_1 \frac{\partial u_3^{(1)}}{\partial x_2} = [C_1 \cdot \mu_1 \cdot q \cdot \cos(q \cdot x_2) - C_2 \cdot \mu_1 \cdot q \cdot \sin(q \cdot x_2)] \cdot \exp[j(kx_1 - \omega t)]$$

(8)

W podłożu: ($x_2 > 0$)

Przemieszczenie mechaniczne fali:

$$u_3^{(2)} = U(x_2) \cdot \exp[j(k \cdot x_1 - \omega t)] \quad (9)$$

$$U''(x_2) - (k^2 - k_2^2) \cdot U(x_2) = 0 \quad (10)$$

$$U(x_2) = C_3 \cdot \exp(-b \cdot x_2) \quad (11)$$

gdzie: $b = (k^2 - k_2^2)^{1/2}$ $k_2 = \frac{\omega}{v_2}$ $Re(b) > 0$

C_3 jest dowolną stałą

Składowa naprężenia:

$$\tau_{23}^{(2)} = \mu_2 \frac{\partial u_3^{(2)}}{\partial x_2} = C_3 \mu_2 (-b) \cdot \exp(-b \cdot x_2) \cdot \exp[j(kx_1 - \omega t)] \quad (12)$$

W obszarze cieczy lepkiej: $(x_2 < -D)$

Prędkość drgań

$$v_3 = V(x_2) \cdot \exp[j(k \cdot x_1 - \omega t)] \quad (13)$$

$$V''(x_2) - \left(k^2 - j\omega \frac{\rho_l}{\eta}\right) \cdot V(x_2) = 0 \quad (14)$$

$$V(x_2) = C_4 \cdot \exp(\lambda_1 \cdot x_2)$$

gdzie: $\lambda_1 = \left(k^2 - j\omega \frac{\rho_l}{\eta}\right)^{1/2}$ $Re(\lambda_1) > 0$ C_4 jest dowolną stałą

Składowa naprężenia:

$$\tau_{23}^{(l)} = \eta \frac{\partial v_3}{\partial x_2} = C_4 \cdot \eta \cdot \lambda_1 \cdot \exp(\lambda_1 \cdot x_2) \cdot \exp[j(kx_1 - \omega t)] \quad (15)$$

Warunki brzegowe

1. Ciągłość przemieszczenia mechanicznego oraz naprężenia τ_{23} na granicy ciecz – sprężysta warstwa powierzchniowa:

$$(x_2 = -D)$$

$$\left. \frac{\partial u_3^{(1)}}{\partial t} \right|_{x_2 = -D} = v_3 \Big|_{x_2 = -D}$$

(16)

$$\left. \tau_{23}^{(1)} \right|_{x_2 = -D} = \tau_{23}^{(l)} \Big|_{x_2 = -D}$$

(17)

2. Ciągłość przemieszczenia mechanicznego oraz naprężenia τ_{23} na granicy pomiędzy warstwą powierzchniową a podłożem:

$$(x_2 = 0)$$

$$u_3^{(1)} \Big|_{x_2 = 0} = u_3^{(2)} \Big|_{x_2 = 0}$$

(18)

$$\left. \tau_{23}^{(1)} \right|_{x_2 = 0} = \tau_{23}^{(2)} \Big|_{x_2 = 0}$$

(19)

Zespolone równanie dyspersyjne

Postać analityczna

$$\sin(qD) \cdot \{(\mu_1)^2 \cdot q^2 + \mu_2 \cdot b \cdot \lambda_1 \cdot j\omega\eta\} - \cos(qD) \cdot \{\mu_1 \cdot \mu_2 \cdot b \cdot q - \mu_1 \cdot q \cdot \lambda_1 \cdot j\omega\eta\} = 0$$

(20)

Wielkości q , b oraz λ_1 są zespolone

$$q = (k_1^2 - k^2)^{1/2} \quad ; \quad b = (k^2 - k_2^2)^{1/2} \quad ; \quad \lambda_1 = \left(k^2 - j\omega \frac{\rho_l}{\eta}\right)^{1/2} \quad ; \quad k = k_0 + j\alpha$$

Równanie (20) składa się z dwóch równań: 1) $\text{Re}(1) = 0$
2) $\text{Im}(1) = 0$

Po rozseparowaniu części rzeczywistej i urojonej równania dyspersyjnego (22) otrzymujemy:

$$A(\mu_1, \rho_1, \mu_2, \rho_2, \eta, \rho_l, D, \omega; k_0, \alpha) = 0 \quad (21)$$

$$B(\mu_1, \rho_1, \mu_2, \rho_2, \eta, \rho_l, D, \omega; k_0, \alpha) = 0 \quad (22)$$

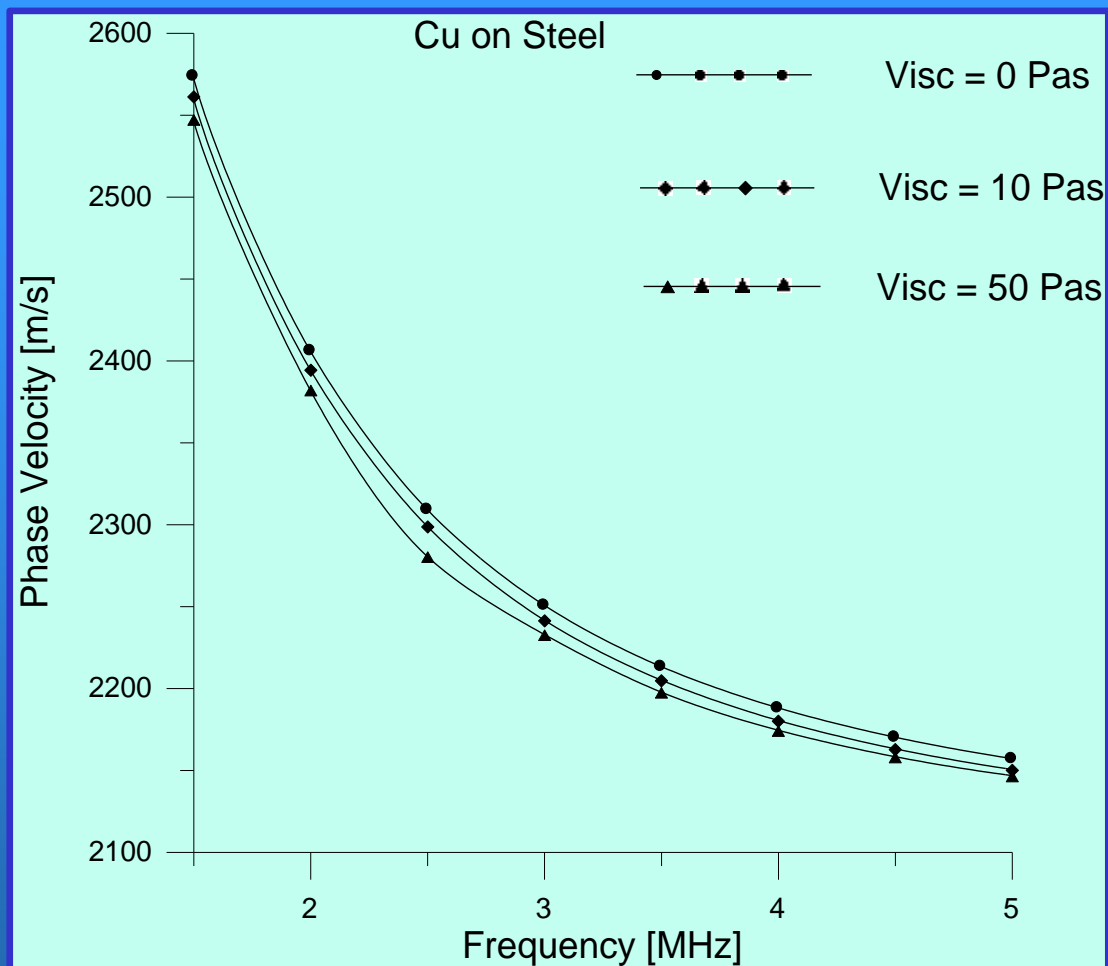
Wielkości: $\mu_1, \rho_1, \mu_2, \rho_2, \eta, \rho_l, D, \omega$ są parametrami

Jest to układ (21-22) dwóch nieliniowych równań algebraicznych, w których niewiadomymi są: k_0 oraz α .

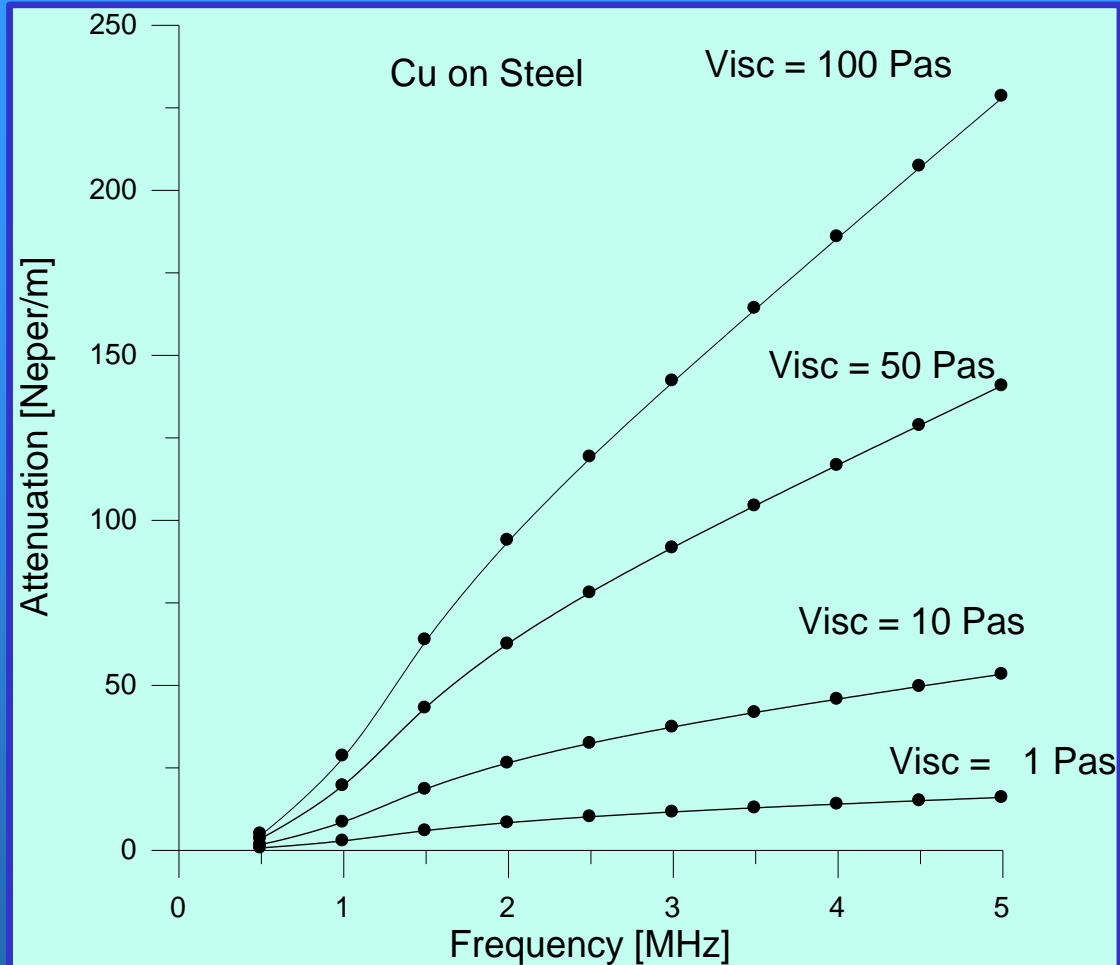
$v = \omega/k_0$ - prędkość fazowa fali Love'a

α - tłumienie fali Love'a w Np/m

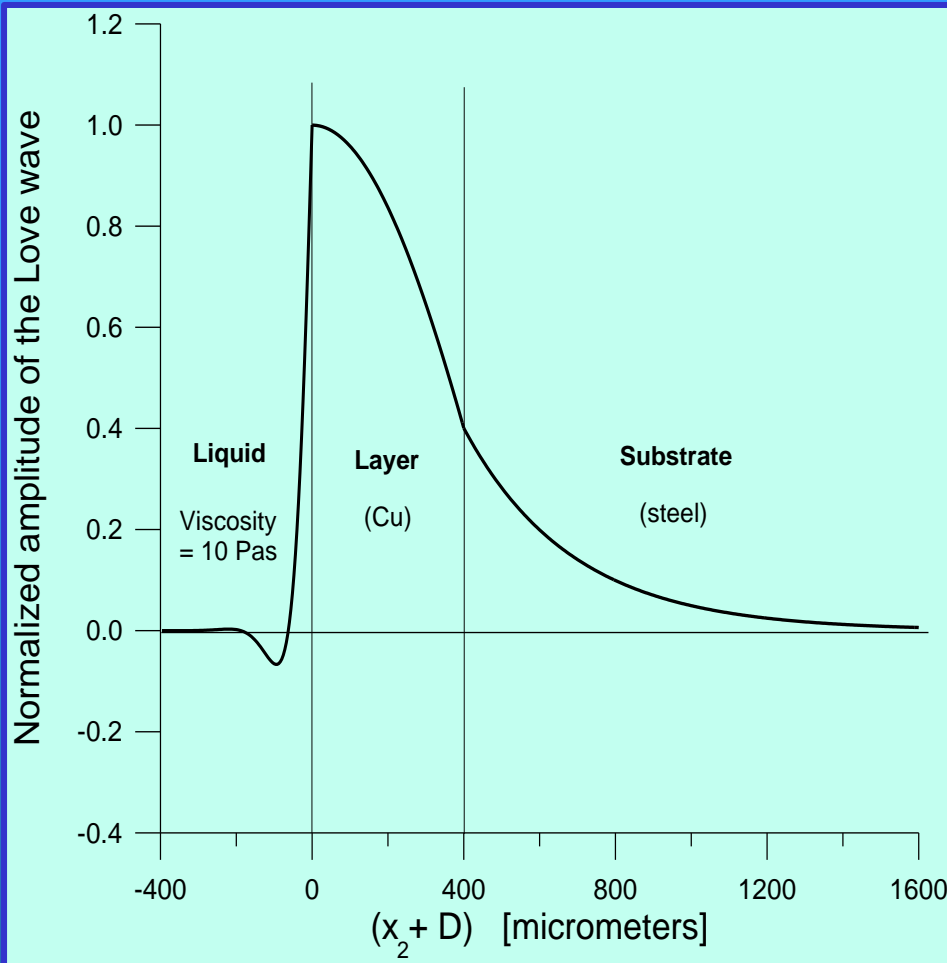
Metoda Newtona: Program MATHCAD oraz SCILAB



Rys.4. Prędkość fazowa fali Love'a w funkcji częstotliwości. $\eta = \text{const.}$



- Rys.5. Tłumienie fali Love'a w funkcji częstotliwości. $\eta = \text{const.}$



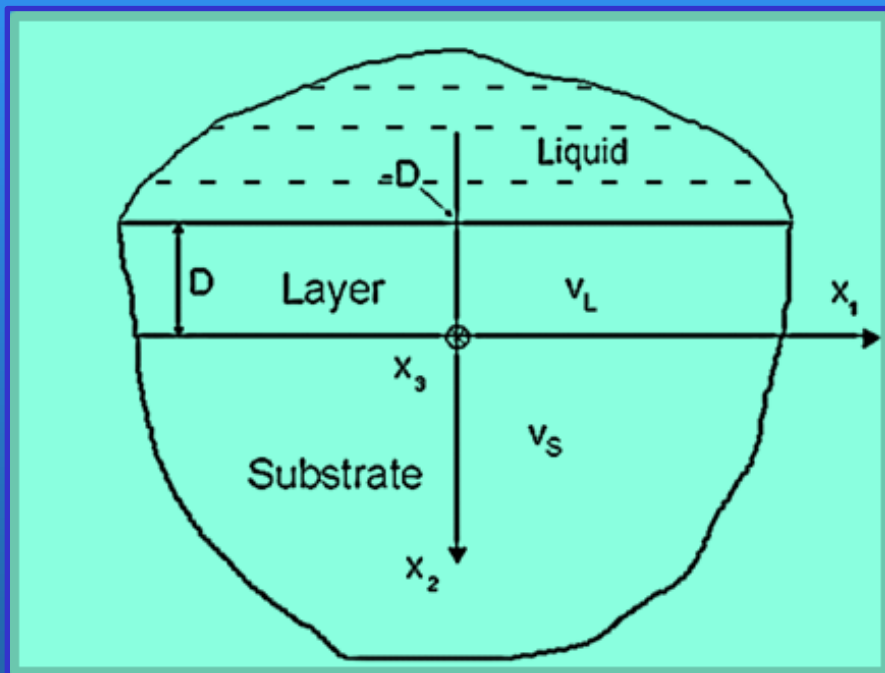
$$\delta = (2\eta/\omega\rho_l)^{1/2}$$

Głębokość wnikania do cieczy

- Rys.6. Część rzeczywista przemieszczenia mechanicznego fali Love'a w funkcji głębokości dla falowodu Cu na stali obciążonego cieczą o lepkości $\eta = 10 \text{ Pas}$, $\delta = 50 \mu\text{m}$.

Zagadnienie Odwrotne dla fali Love'a

- Zagadnienie odwrotne polega na wyznaczeniu nieznanymi parametrów materiałowych (np. lepkości cieczy) ze znajomości zmierzonych krzywych dyspersji prędkości fazowej i tłumienia powierzchniowych fal Love'a rozchodzących się w rozpatrywanym falowodzie.



Krzywe dyspersji



Parametry materiałowe

Rys.7. Falowód fali Love'a pokryty cieczą lepką

- W tej pracy Zagadnienie Odwrotne sformułowano oraz rozwiązano jako zagadnienie optymalizacyjne z odpowiednio sformułowaną funkcją celu

Kroki w Postępowaniu Odwrotnym

Aby rozwiązać Zagadnienie Odwrotne należy wykonać następujące 3 kroki:

- 1) Sformułowanie i rozwiązanie Zagadnienia Prostego
- 2) Przeprowadzenie eksperymentu (numerycznego). Dane syntetyczne. Pomiar krzywych dyspersji fal Love'a
- 3) Sformułowanie i rozwiązanie Zagadnienia Odwrotnego:
 - a) Zagadnienie odwrotne formułujemy jako Zagadnienie Optymalizacyjne
 - b) określenie funkcji celu $\Pi_1(\eta)$ oraz $\Pi_2(\eta, \rho_l)$
 - c) zastosowanie procedury minimalizacyjnej

Funkcje celu

Funkcja celu: $\Pi_1(\eta)$. Wyznaczanie tylko lepkości cieczy.

$$\Pi_1(\eta) = \sum_{j=1}^{N_e} \left\{ \left(\frac{v_j^m - v_j^c(\eta)}{v_j^m} \right)^2 + \left(\frac{\alpha_j^m - \alpha_j^c(\eta)}{\alpha_j^m} \right)^2 \right\} \quad (23)$$

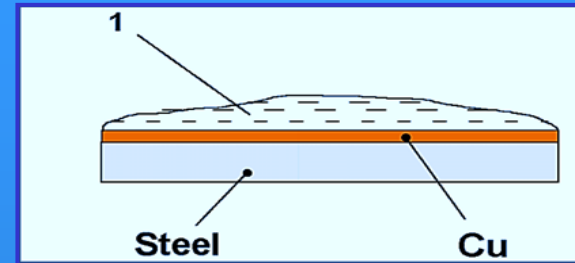
Funkcja celu: $\Pi_2(\eta, \rho_l)$. Jednoczesne wyznaczanie lepkości i gęstości cieczy.

$$\Pi_2(\eta, \rho_l) = \sum_{j=1}^{N_e} \left\{ \left(\frac{v_j^m - v_j^c(\eta, \rho_l)}{v_j^m} \right)^2 + \left(\frac{\alpha_j^m - \alpha_j^c(\eta, \rho_l)}{\alpha_j^m} \right)^2 \right\} \quad (24)$$

Aby zminimalizować funkcje celu zastosowano procedury optymalizacyjne typu Nelder-Mead (downhill nonlinear simplex)

Obliczenia numeryczne

Falowod Cu na stali



Dane materiałowe

Dla miedzi (Cu)

$$\mu_1 = 3.91 \cdot 10^{10} \text{ N/m}^2$$

$$\rho_1 = 8.9 \cdot 10^3 \text{ kg/m}^3$$

$$v_1 = (\mu_1/\rho_1)^{1/2} = 2096 \text{ m/s}$$

Grubość $D = 0.4 \text{ mm}$

Gęstość cieczy = $1.0 \cdot 10^3 \text{ kg/m}^3$;

Dla stali

$$\mu_2 = 8.02 \cdot 10^{10} \text{ N/m}^2$$

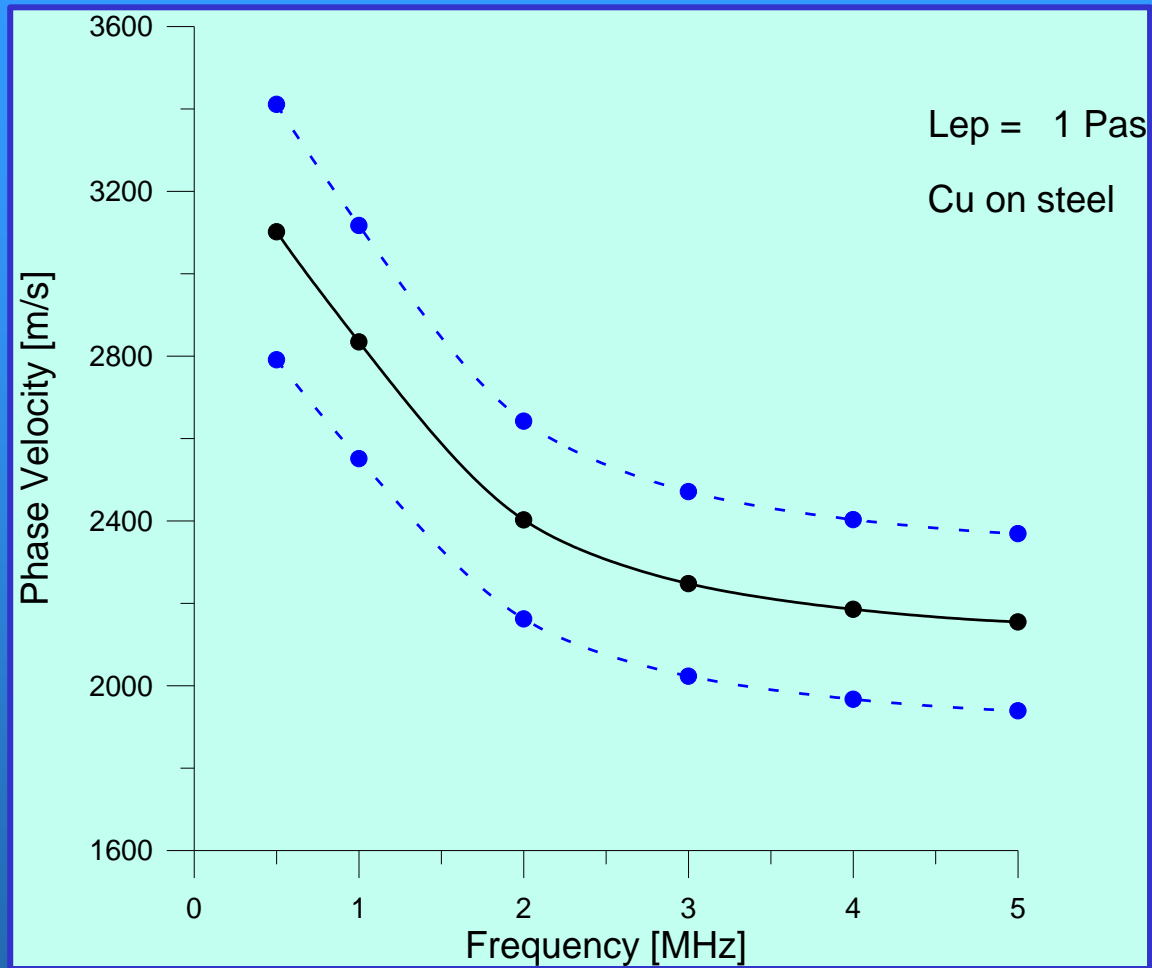
$$\rho_2 = 7.8 \cdot 10^3 \text{ kg/m}^3$$

$$v_2 = (\mu_2/\rho_2)^{1/2} = 3206.5 \text{ m/s}$$

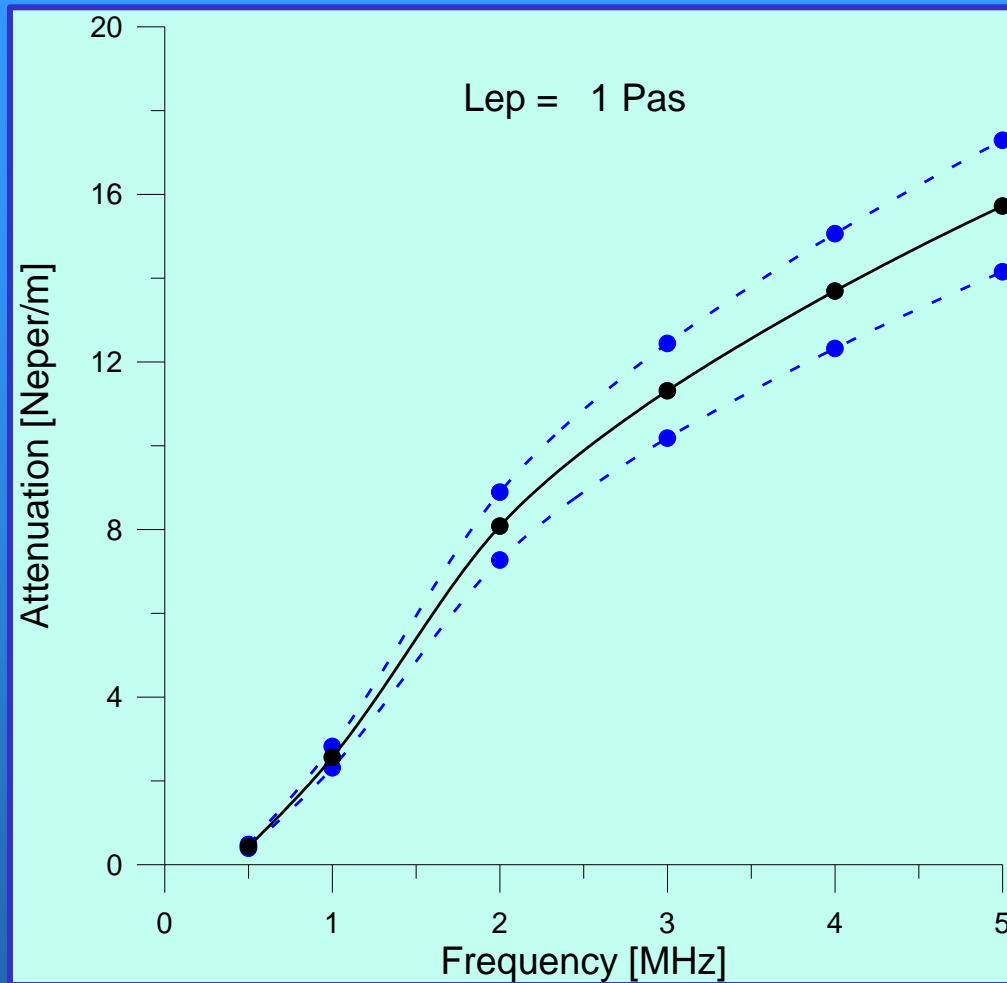
Program Mathcad oraz Scilab

Dane Syntetyczne (Eksperyment Numeryczny)

- Krzywe dyspersji prędkości fazowej oraz tłumienia fali Love'a wyznaczono numerycznie dla lepkości cieczy $\eta = 1 \text{ Pas}$.
- Krzywe te traktujemy jako krzywe dokładne.
- Następnie dodajemy do tych krzywych błąd przypadkowy.
- Otrzymane w ten sposób krzywe traktujemy jako krzywe eksperymentalne.
- Krzywe dyspersji obliczono dla 6 wartości częstotliwości.
- $f = 0.5 \text{ MHz}, 1 \text{ MHz}, 2.0 \text{ MHz}, 3.0 \text{ MHz}, 4.0 \text{ MHz}$ oraz 5 MHz .



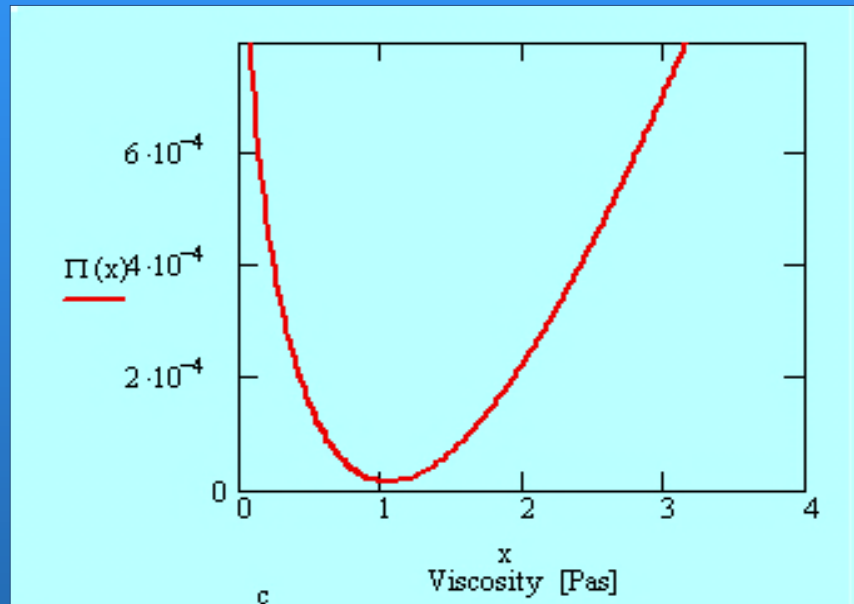
Rys.8. Dokładna krzywa dyspersji prędkości + błąd przypadkowy $\pm 10\%$



Rys.9. Dokładna krzywa dyspersji tłumienia fali Love'a + błąd przypadkowy $\pm 10\%$

Wyniki obliczeń numerycznych

- Zastosowano procedury optymalizacyjne do wyznaczenia minimum funkcji celu $\Pi_1(\eta)$ oraz $\Pi_2(\eta, \rho_l)$



- Rys.10. Zależność funkcji celu $\Pi_1(\eta)$ od lepkości cieczy η dla wartości maksymalnego błędu przypadkowego = 1%

Wyniki obliczeń numerycznych

- Minimalizacja funkcji celu $\Pi_1(\eta)$ prowadzi do następujących wartości nieznanej lepkości cieczy:

Random error	1%	2%	5%	10%
Relative error (η) [%]	0.15	0.35	0.64	2.12
Average value (η)	1.00012	0.99925	1.00279	0.99058
Error (η) [%]	0.0123	0.0743	0.2797	0.9417

- Tabela I. Lepkość cieczy określona z Metody Odwrotnej. Maksymalny błąd przypadkowy (maximal random error) = $\pm(1 - 10)\%$.
Wartość średnia obliczona jest z 10 kolejnych wyznaczonych z Metody Odwrotnej wartości lepkości cieczy.

Bardzo duża dokładność (ważna przy pomiarach ciekłych kryształów).

$$\text{Błąd względny} = \left\{ \frac{|\eta_1^{calc} - \eta^{exact}|}{|\eta^{exact}|} + \frac{|\eta_2^{calc} - \eta^{exact}|}{|\eta^{exact}|} + \dots + \frac{|\eta_{N_e}^{calc} - \eta^{exact}|}{|\eta^{exact}|} \right\} / N_e \quad (25)$$

Wyniki obliczeń numerycznych

- Jednoczesne wyznaczenie lepkości η oraz gęstości cieczy ρ_l . Minimalizacja funkcji celu $\Pi_2(\eta, \rho_l)$ prowadzi do następującej wartości nieznanej lepkości η oraz gęstości cieczy ρ_l .

Random error	0.1%	1%	5%	10%
Relative error (η) [%]	1.38	5.56	12.27	18.47
Average value (η)	0.99189	0.9694	0.9556	0.9516
Error(η) [%]	0.8108	3.0500	4.4364	4.8310
Relative error (ρ_l) [%]	1.41	5.92	13.96	19.94
Average value (ρ_l)	1008.34	1036.30	1060.71	1086.39
Error (ρ_l) [%]	0.8342	3.6300	6.0711	8.6394

- Tabela II. Lepkość i gęstość cieczy określone jednocześnie z Metody Odwrotnej. Maksymalny błąd przypadkowy (maximal random error) = $\pm(0.1 - 10)\%$.
- Błąd względny lepkości – 2-gi wiersz.
- Błąd względny gęstości – 5-ty wiersz.

Podsumowanie

- Sformułowano i rozwiązano Zagadnienie Proste dotyczące rozchodzenia się fali Love'a w falowodzie sprężystym obciążonym na powierzchni cieczą lepką
- Wyprowadzono wzór analityczny na zespolone równanie dyspersyjne dla fali Love'a rozchodzącej się w rozpatrywanej strukturze
- Sformułowano i rozwiązano Zagadnienie Odwrotne
- Skonstruowano odpowiednie funkcje celu $\Pi_1(\eta)$ oraz $\Pi_2(\eta, \rho_l)$
- Zagadnienie Odwrotne sformułowano i rozwiązano jako Zagadnienie Optymalizacyjne. Zastosowano procedury optymalizacyjne typu Nelder-Mead
- Obliczenia numeryczne przeprowadzono dla fal Love'a rozchodzących się w falowodzie miedź na stali + ciecz lepka

Wnioski

- Opracowano nową Metodę Odwrotną do jednoczesnego wyznaczania lepkości η oraz gęstości ρ_l cieczy korzystając z krzywych dyspersji prędkości oraz tłumienia powierzchniowej fali Love'a
- Wyniki badań pokazują, że fale Love'a mogą być z powodzeniem wykorzystane do pomiarów nieznannej lepkości oraz gęstości cieczy
- Otrzymane wyniki badań mogą znaleźć zastosowanie w projektowaniu oraz konstrukcji sensorów lepkości oraz gęstości cieczy procesowych w przemyśle:
chemicznym, spożywczym, paliwowym oraz w przemyśle tworzyw sztucznych (stopione polimery - temp = 150 – 350 °C ; ciśn = 50 – 100 MPa)

Przyszłe Prace

- Zagadnienie Odwrotne
- Wyznaczanie parametrów reologicznych cieczy lepkosprężystych
 $G = \mu + j\eta$
- Wyznaczanie profili właściwości sprężystych w materiałach gradientowych (Functionally Graded Materials – FGM)
- Zastosowanie procedur optymalizacyjnych:
 - Symulowane Wygrzewanie
 - Algorytmy Genetyczne
 - Algorytmy Ewolucyjne

1. P. Kielczyński, M. Szalewski, A. Balcerzak, „Effect of a viscous liquid loading on Love wave propagation”, *International Journal of Solids and Structures*, 49 (2012) , 2314-2319.
2. Kim, J.O., Bau, H.H., 1989. Instrument for simultaneous measurement of density and viscosity. *Review of Scientific Instruments* 60, 1111-1115.
3. Herrmann, F., Hahn, D., Buttgenbach, S., „1999. Separate determination of liquid density and viscosity with sagittally corrugated Love-mode sensors”, *Sensors and Actuators A* 78, 99-107
4. B. Jakoby et. al., „Miniaturized sensors for the viscosity and density of liquids – performance and issues”, *IEEE Trans on Ultrasonics, Ferroelectrics, and Frequency Control*, Vol. 57, No 1, pp. 111- 120, 2010.
5. F.L. Guo, G.Q. Wang, G.A. Rogerson, „Inverse determination of liquid viscosity by means of the Bleustein-Gulyaev wave”, *International Journal of Solids and Structures*, 49 (2012) 2115-2120.
6. Du J.K., Xian K., Yong Y.K., „SH-SAW propagation in layered functionally graded piezoelectric material structures loaded with viscous liquid”, *Acta Mechanica*, 212 (2010), pp. 271-281.
7. G.R. Liu and X. Han, *Computational inverse techniques in nondestructive evaluation*, CRC Press, London, 2003, Ch.4.